

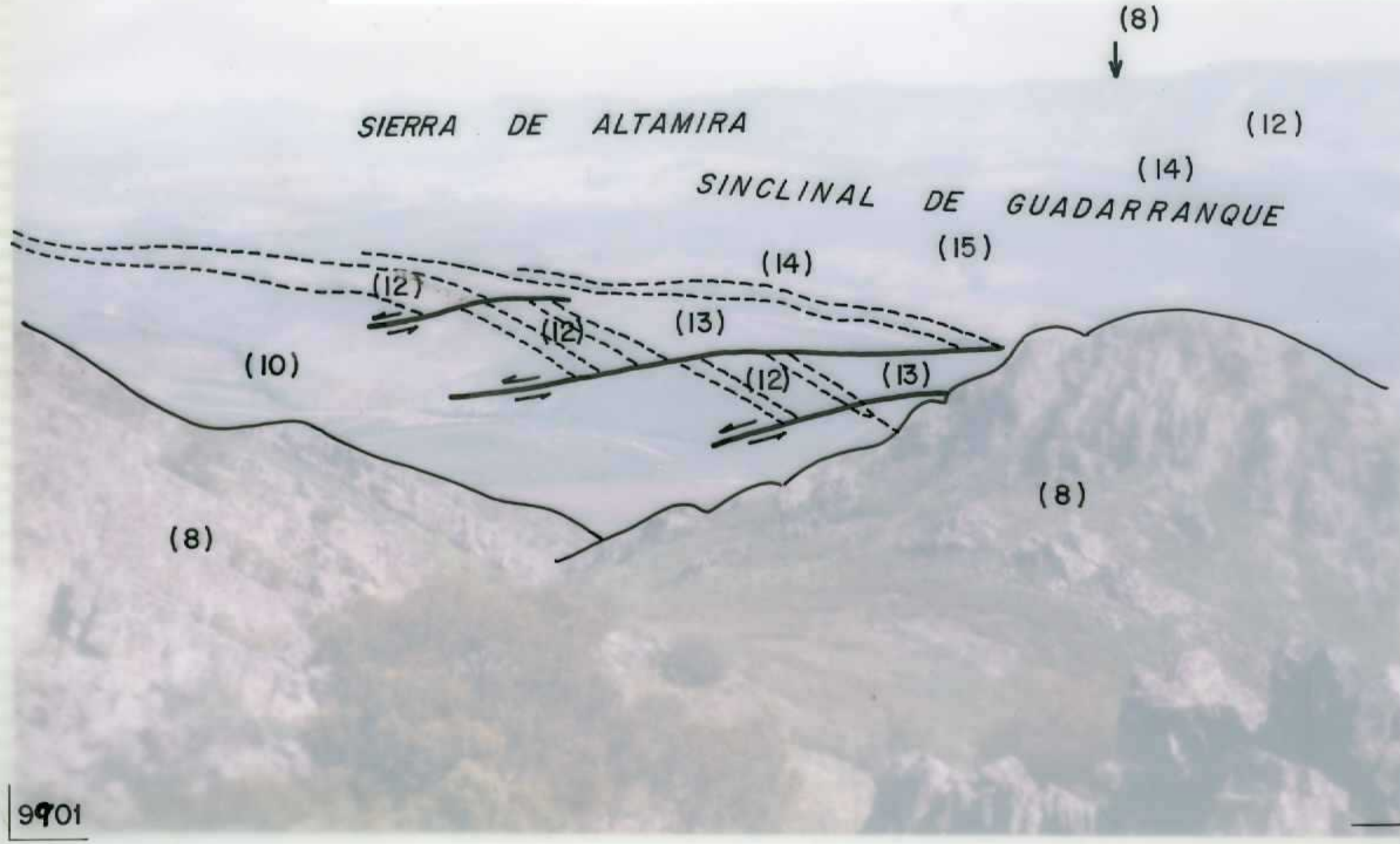
14-27-IB-FN-9900.- Estructura de "bolas con capas concéntricas" en la formación (13) nivel de "pelitas con fragmentos".

14-27-IB-FN-9901.- Sinclinal del Guadarranque desde el vértice Sobacorbas (1321 metros) en 1er término barras cuarcitas del Arenig (8) en segundo plano la doble cresta de las cuarcitas y areniscas pardas (12) Caradoc; e inmediatamente después, el 3er resalte cuarcítico (11) - del Silúrico.

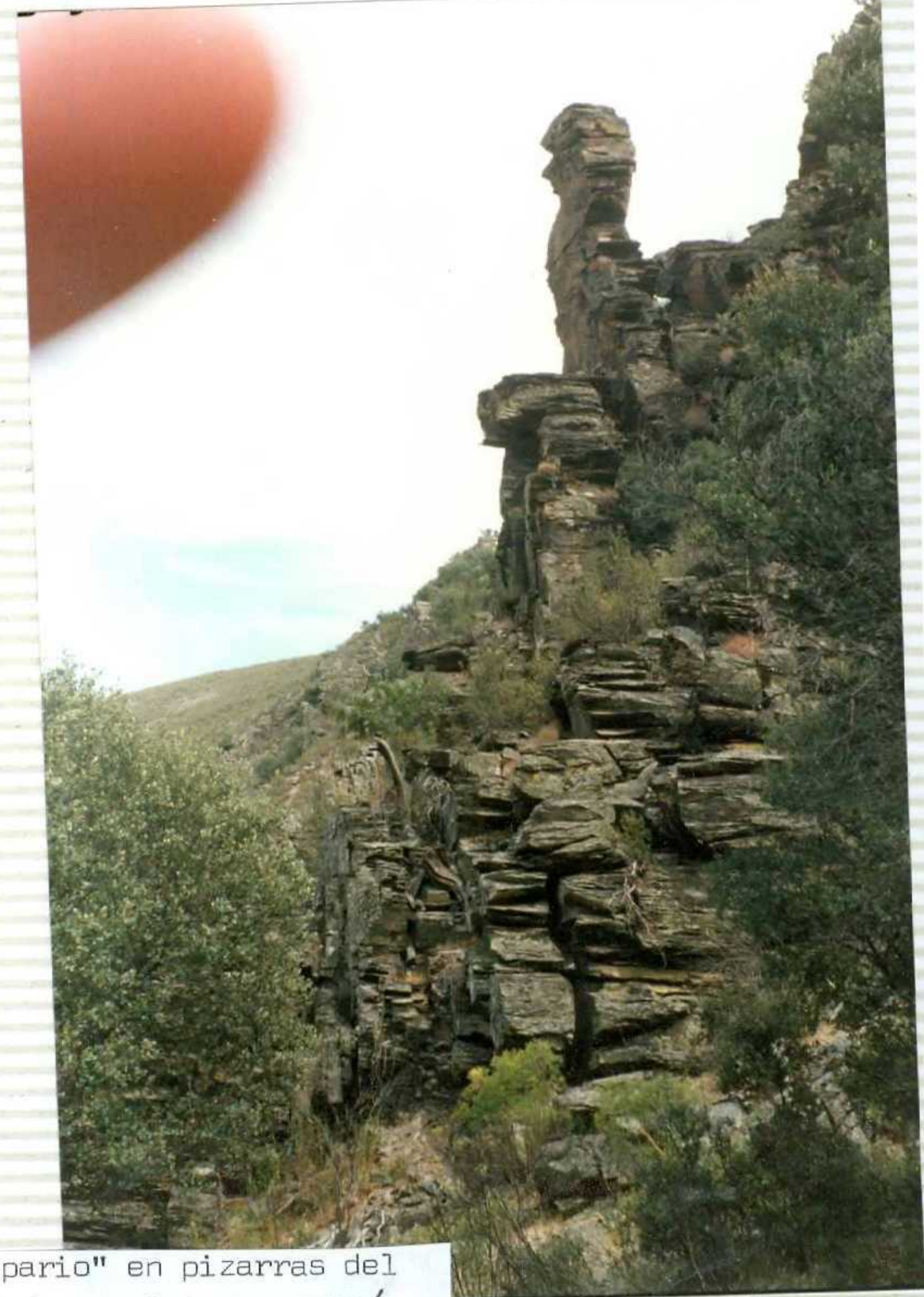


NE

SE

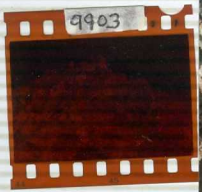

(8)
SIERRA DE ALTAMIRA
(12)
(14)
SINCLINAL DE GUADARRANQUE
(15)
(14)
(12)
(12)
(13)
(10)
(12)
(13)
(8)
(8)

9901



14-27-IB-FN-9902.- "Peñas del Campario" en pizarras del Silúrico (15) debido a un diaclasado muy intenso N 60/-85 SE.

14-27-IB-FN-9903.- Barras cuarcíticas del Silúrico (14). Aº Gualija.









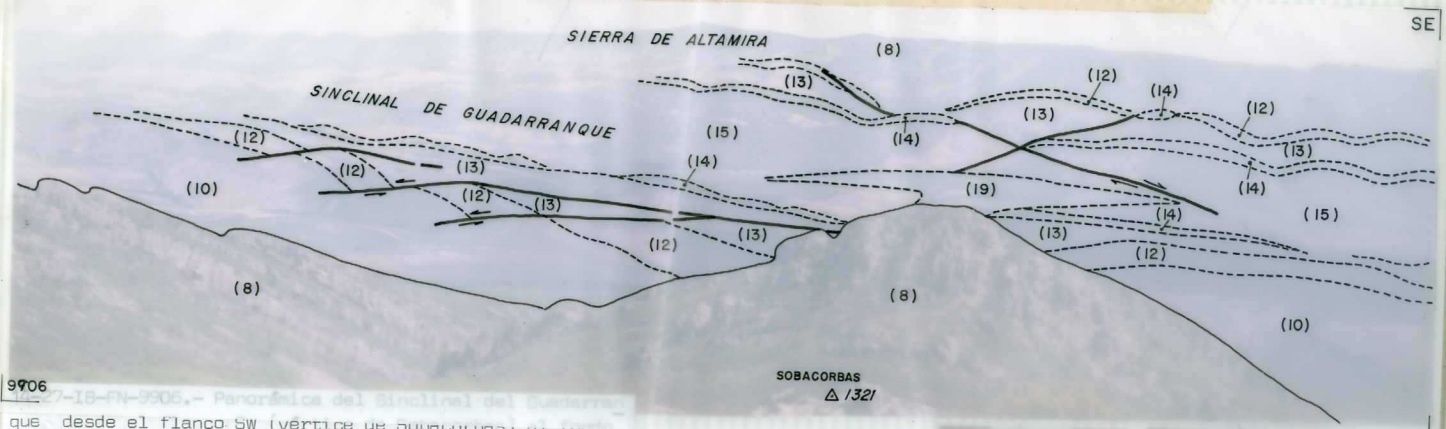
14-27-IB-FN-9904.- Detalle de las barras cuarcíticas del Silúrico (14) con intercalación de un tramo limolítico - negro. Aº Gualija.



14-27-IB-FN-9905.- Pizarras y cuarcitas alternantes (1S) del Silúrico, ripples (flaser) y "lenticular y linsen -- bedding"



14-27-IB-FN-9906.- Panorámica del Sinclinal del Guadarran



que desde el flanco SW (vértice de Sobacorbas), al fondo el flanco NE (Sierra de Altamira).



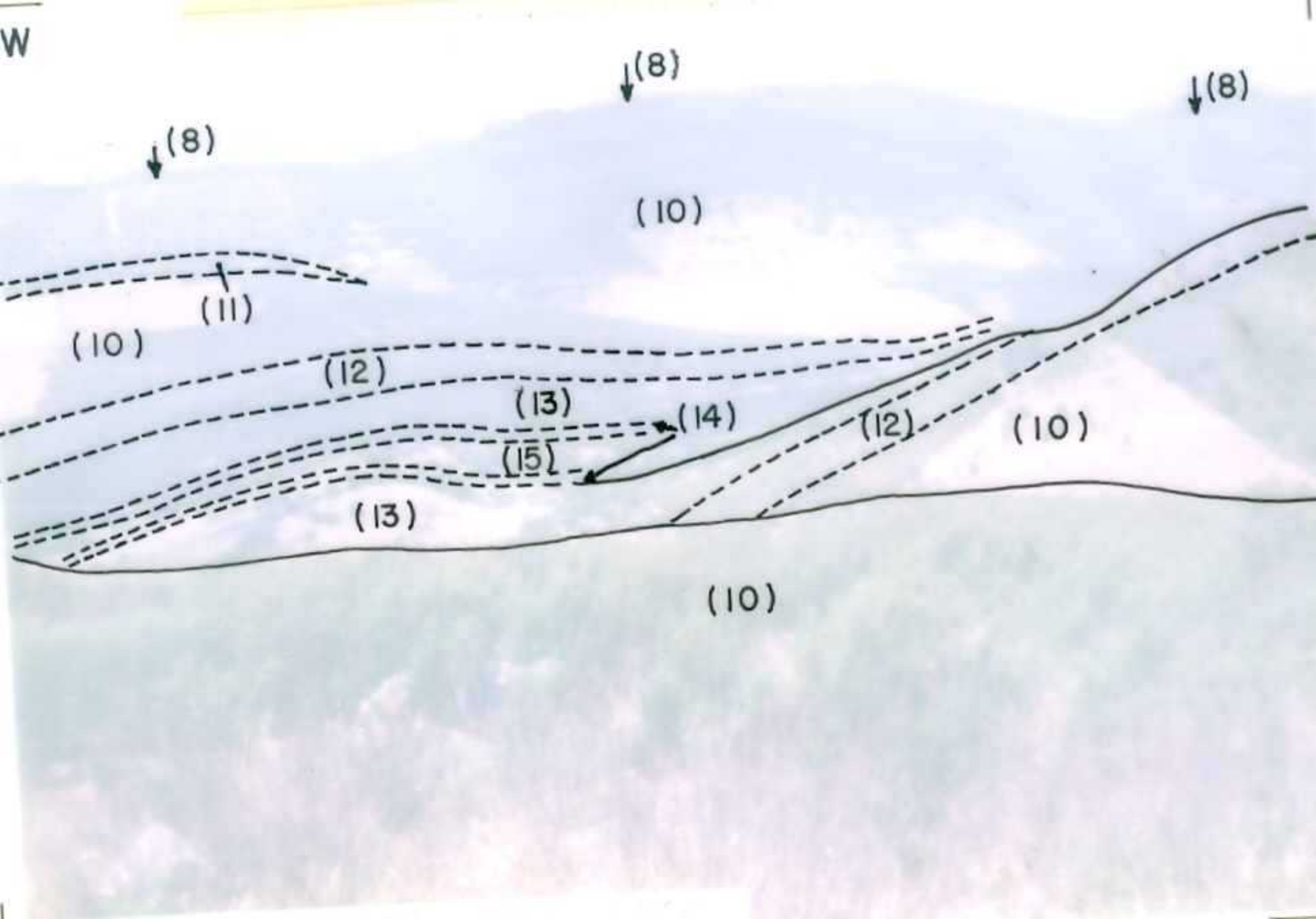




14-27-IB-FN-9907.- Cerro del Yelmo, cuarcitas silúricas - (14) en 1er término areniscas y cuarcitas pardas (12) del Caradoc.



14-27-IB-FN-9908.- Resaltes del Caradoc (12) y del Silúrico (14) en el Sinclinal de Sta. Lucia.


W
(8)
(8)
(8)
(10)
(11)
(10)
(12)
(13)
(14)
(15)
(12)
(10)
(13)
(10)



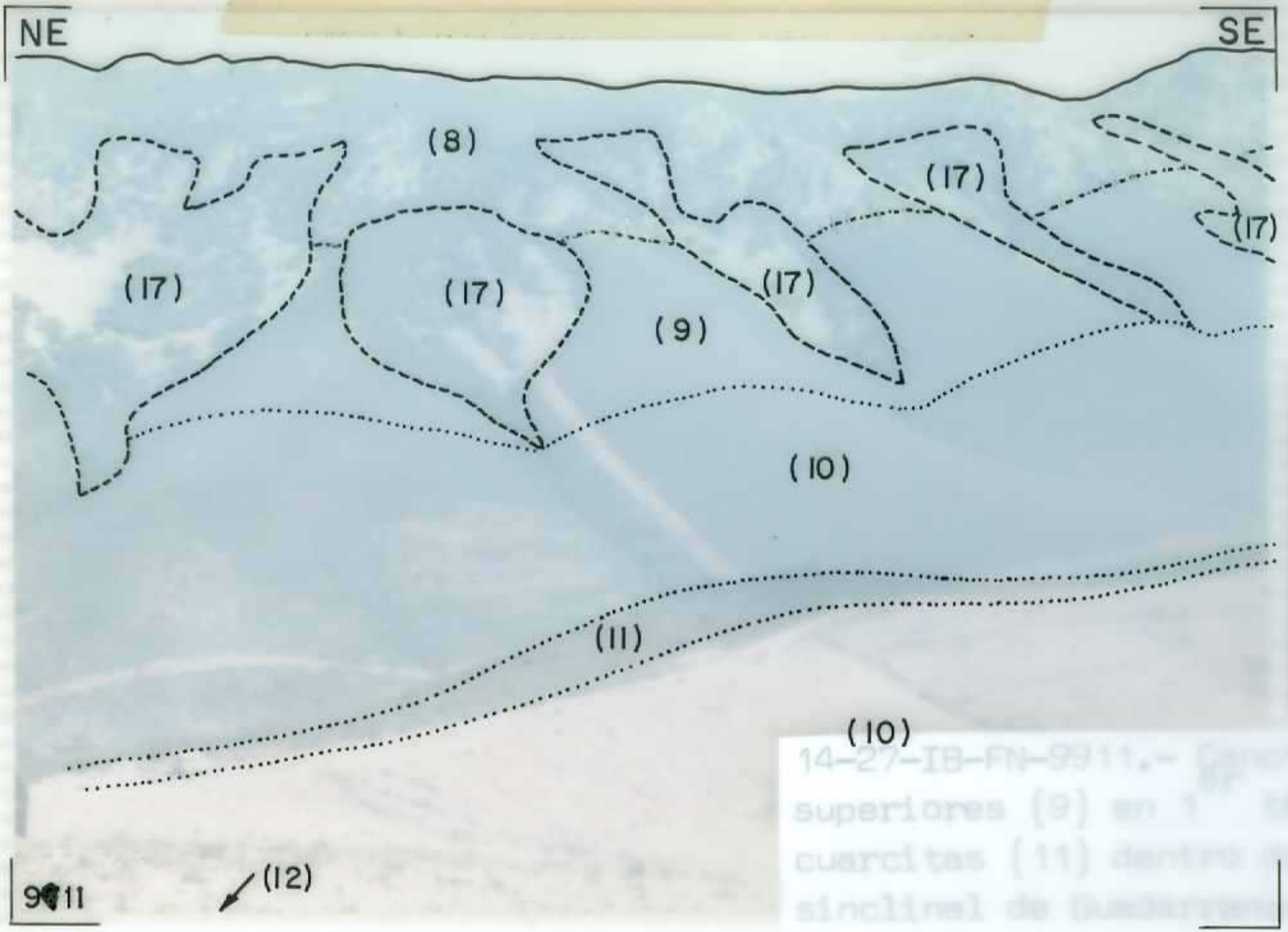
14-27-IB-FN-9909.- Cantos y bloques de raña (16).



14-27-IB-FN-9910.- Gravas rubefactadas ("garbancillo") del glacis de acumulación de raña.



14-27-IB-FN-9911.- Canchales (17) sobre las alternancias superiores (9) en 1er término resalte de areniscas y --- cuarcitas (11) dentro de las pizarras con calymene (10), sinclinal de Guadarranque.


NE
SE
(8)
(17)
(17)
(17)
(17)
(17)
(9)
(10)
(11)
(10)
9011
(12)



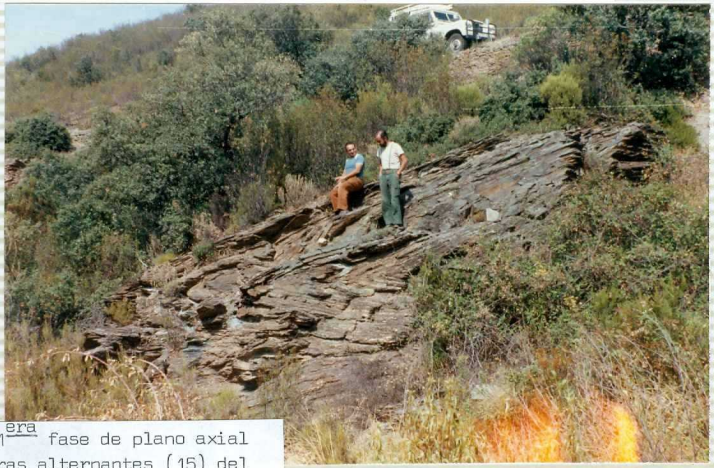
14-27-IB-FN-9912.- Pliegue anticlinal en el flanco sur de cuarcitas del sinclinal de Sta. Lucia, corte del rio Almonte.



14-27-IB-FN-9913.- Esquistosidad invertida (buzando menos que la estratificación) en flanco NE del Guadarranque.



14-27-IB-FN-9914.- Esquistosidad normal en Ordovícico (7) u (8) ¿? en el flanco NE del sinclinal del Rio -- Viejas.



14-27-IB-FN-9915.- Pliegues de 1^{era} fase de plano axial horizontal en cuarcitas y pizarras alternantes (15) del Silúrico. Pliegue similar con ligero engrosamiento de - charnela (anisopaco).



dad normal en Ordovícico
del sinclinal del Rio --

14-27-IB-FN-9916.- Pliegue anticlinal isopaco, con desarrollo de núcleo en profundidad de plegamiento anisopaco en cuarcitas del Ordovícico (8).



14-27-IB-FN-9917.- Pliegue concéntrico isopaco en cuarcitas del Ordovícico (8).



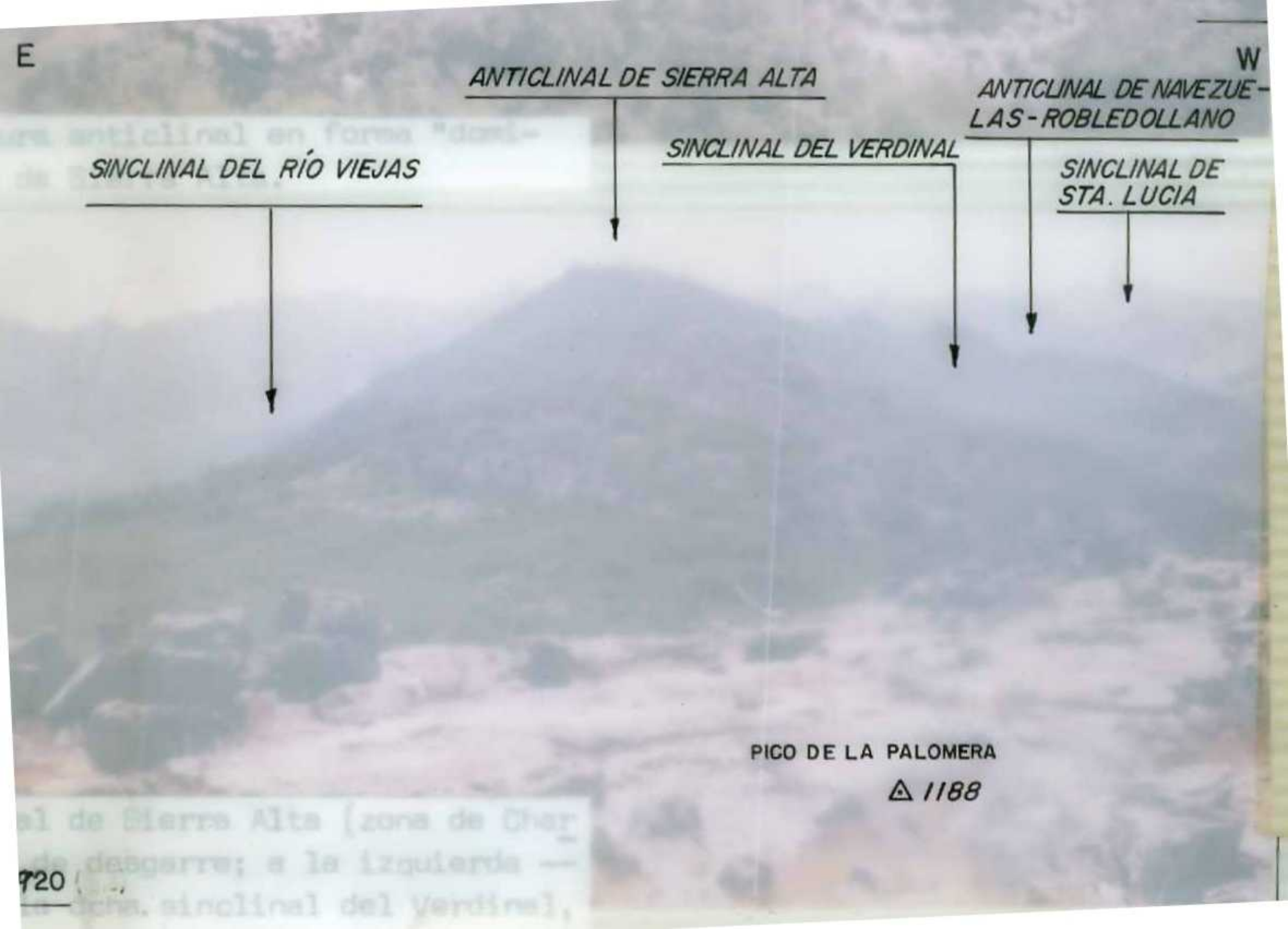
14-27-IB-FN-9918.- Cierre periclinal anticlinal en cuarcitas Ordovícicas (8) debido al fuerte cabeceo del eje, de hasta 71º N.; Sinclinal del Verdinal.



14-27-IB-FN-9919.- Estructura anticlinal en forma "domi-
ca" en el vértice Palomera de Sierra Alta.



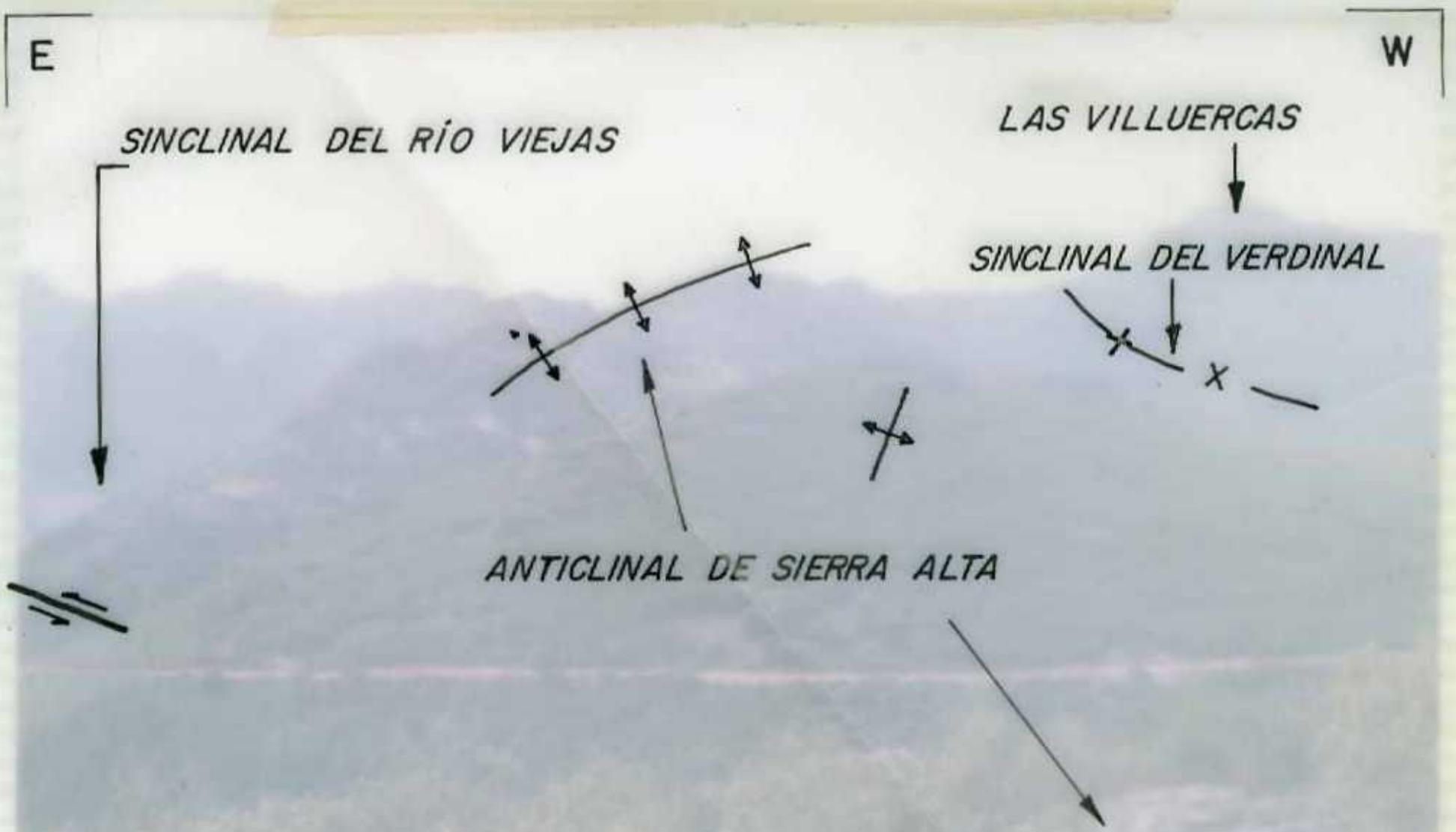
14-27-IB-FN-9920.- Anticlinal de Sierra Alta (zona de Charnela) desplazada por fallas de desgarre; a la izquierda -- sinclinal del Rio Viejas a la dcha. sinclinal del Verdinal, al fondo el pico de las Villuercas.


E
W
ANTICLINAL DE SIERRA ALTA
ANTICLINAL DE NAVEZUE-LAS-ROBLEDOLLANO
SINCLINAL DEL VERDINAL
SINCLINAL DEL RÍO VIEJAS
SINCLINAL DE STA. LUCIA
PICO DE LA PALOMERA
△ 1188

720



14-27-IB-FN-9921.- Anticlinal de Sierra Alta desde el vértice de la Palomera hacia el SE, a la izda sinclinal del Rio Viejas, a la dcha, sinclinal del Verdinal con poco desarrollo y anticlinal del Robledollano-Navazuelas.

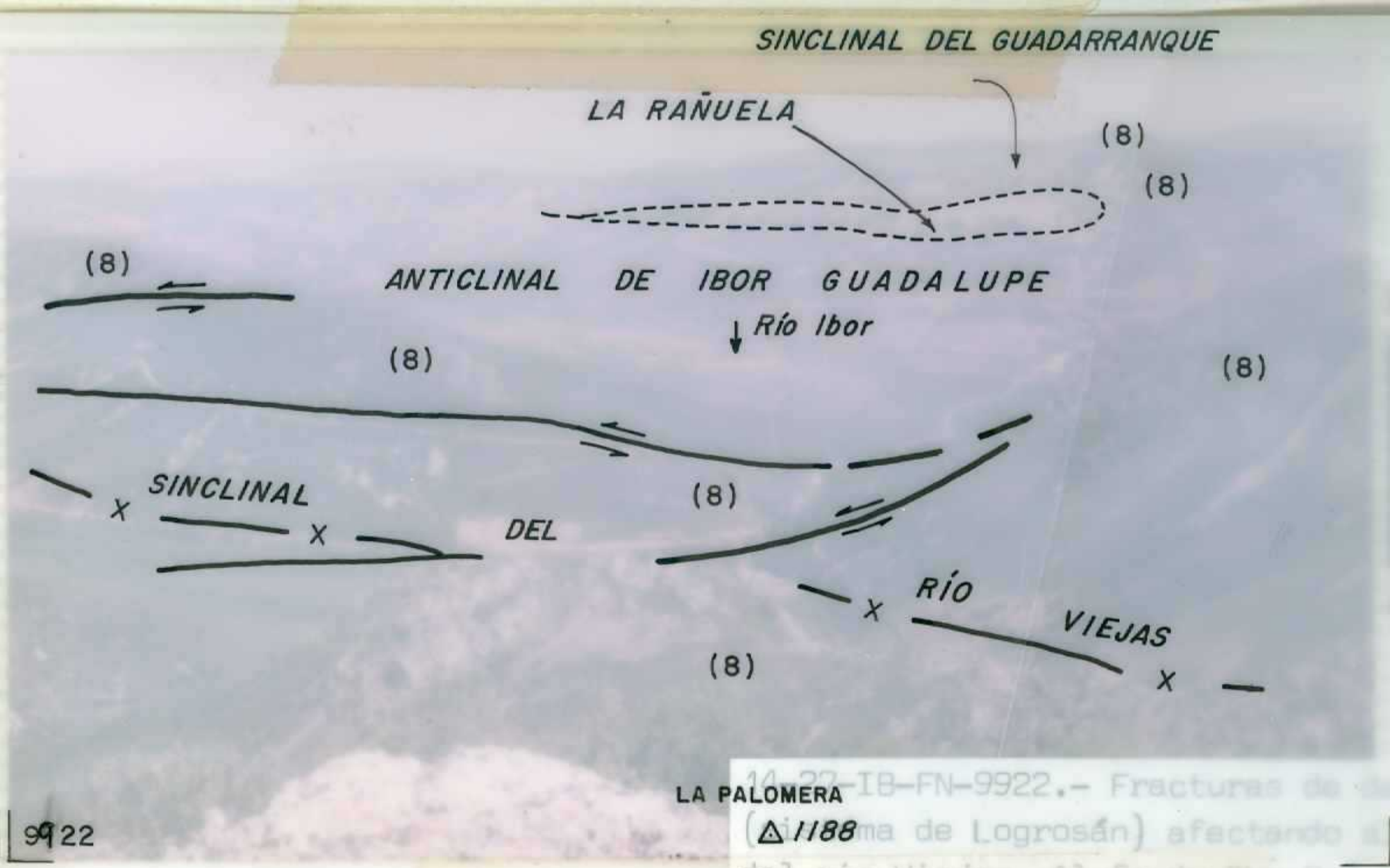


erra Alta desde el vér
la sinclinal del

9721

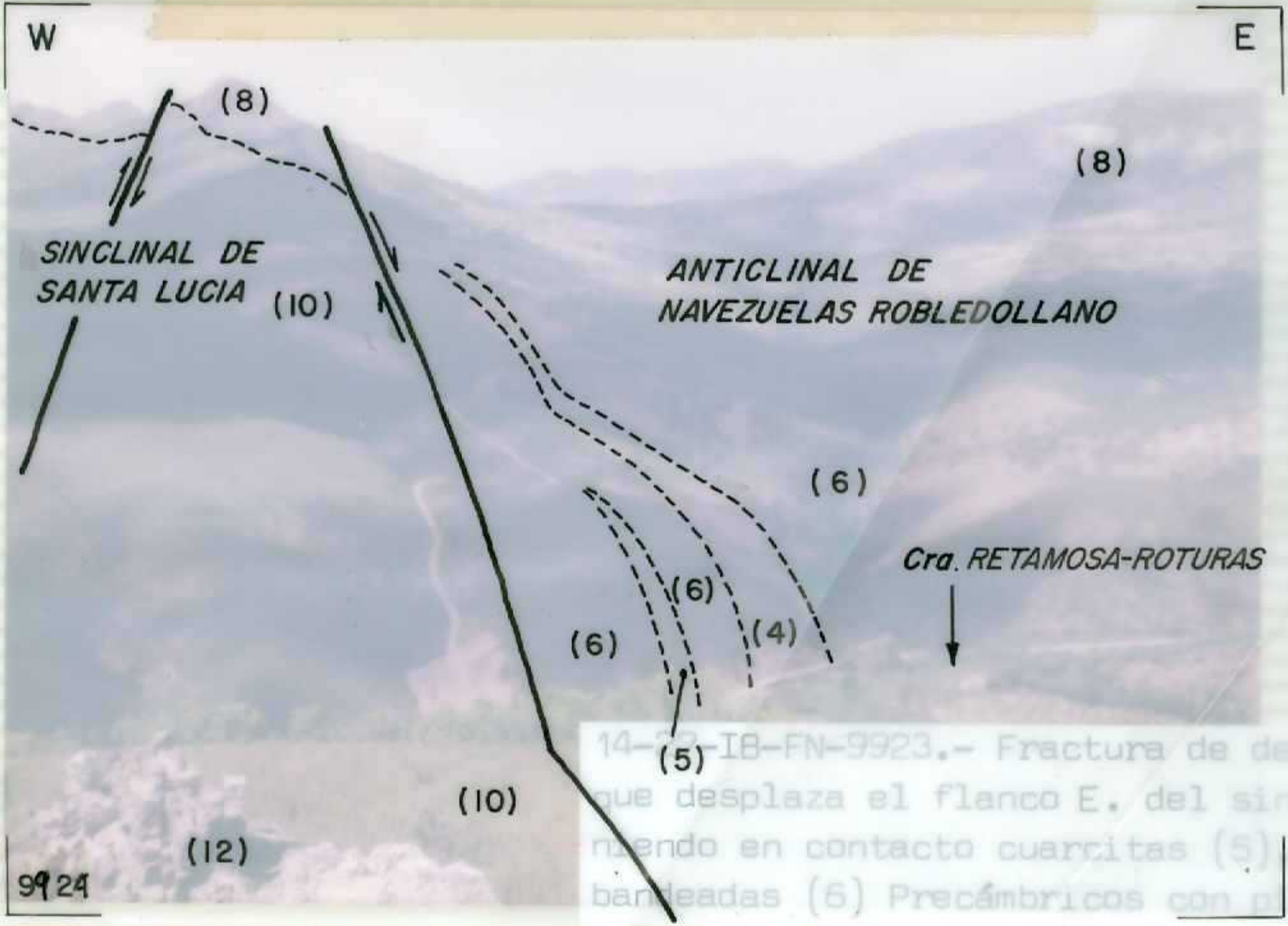


14-27-IB-FN-9922.- Fracturas de desgarre N 110E levógiras (sistema de Logrosán) afectando al flanco NE del sinclinal del rio Viejas. Al fondo "La Rañuela " (16).


SINCLINAL DEL GUADARRANQUE
LA RAÑUELA
(8)
(8)
(8)
ANTICLINAL DE IBOR GUADALUPE
Río Ibor
(8)
(8)
(8)
SINCLINAL
DEL
RÍO
VIEJAS
(8)
LA PALOMERA
1188



14-27-IB-FN-9923.- Fractura de desgarre N 170E dextrógira, que desplaza el flanco E. del sinclinal de Sta Lucia, poniendo en contacto cuarcitas (5), calizas (2) y facies -- bandeadas (6) Precámbricos con pizarras con calymene (10) del Ordovícico.



14-23-IB-FN-9923.- Fractura de des
que desplaza el flanco E. del sinc
niendo en contacto cuarcitas (5)
bandeadas (6) Precámbricos con p



14-27-IB-FN-9924.- Pliegues angulares tipo "chevron" en el Precámbrico; Rio Berzocana.



14-27-IB-FN-9951.- Niveles de microconglomerados. (2)



14-27-IB-FN-9952.- Facies de slump-brecha en el tránsito (1)-(6). Anticlinal de Ibor-Guadalupe. Aº de Navalconejo.

14-27-IB-FN-9953.- Facies de Slump - brecha en el tránsito (1) (6). Anticlinal de Ibor-Guadalupe. Aº.de Navalconejo.







14-27-IB-FN-9954.- Facies de Slump-brecha, detalle de canto de conglomerado. Rio Berzocana.



14-27-IB-FN-9954(bis). Facies de Slump-brecha. Rio Berzocana.



14-27-IB-FN-9955.- Facies de Slump-brecha(facies desorganizadas). Rio Berzocana.



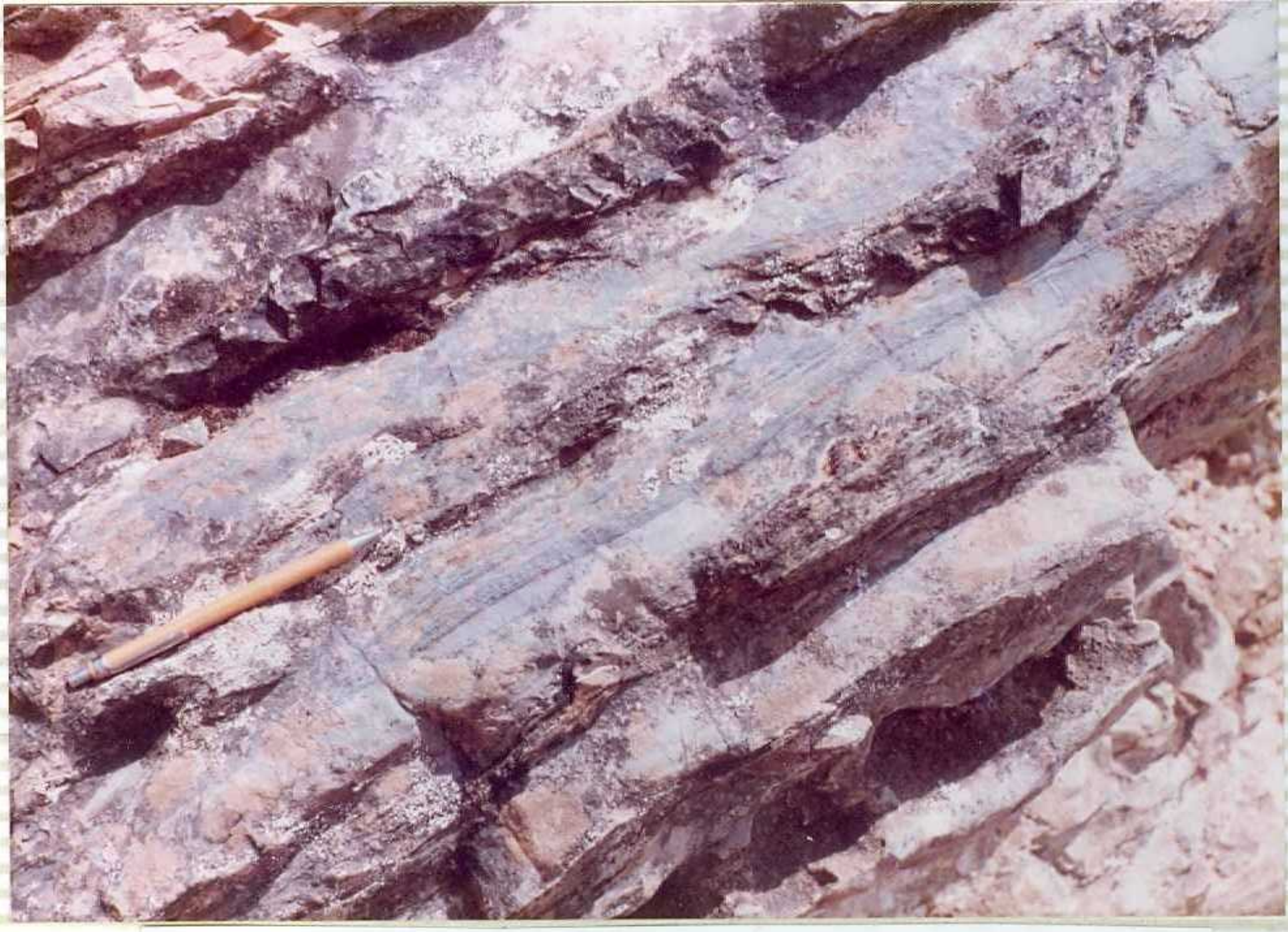
14-27-IB-FN-9956.- Limolitas y areniscas bandeadas(6) Load cast (flame-estruture).



14-27-IB-FN-9957.- Limolitas y areniscas bandeadas (6); peque_ ño slump de canal, con microconglomerado de cuarzo y cantos blandos pelíticos en la base.



14-27-IB-FN-9958.- Calcoesquistos de aspecto poroso y muy laminados (4).



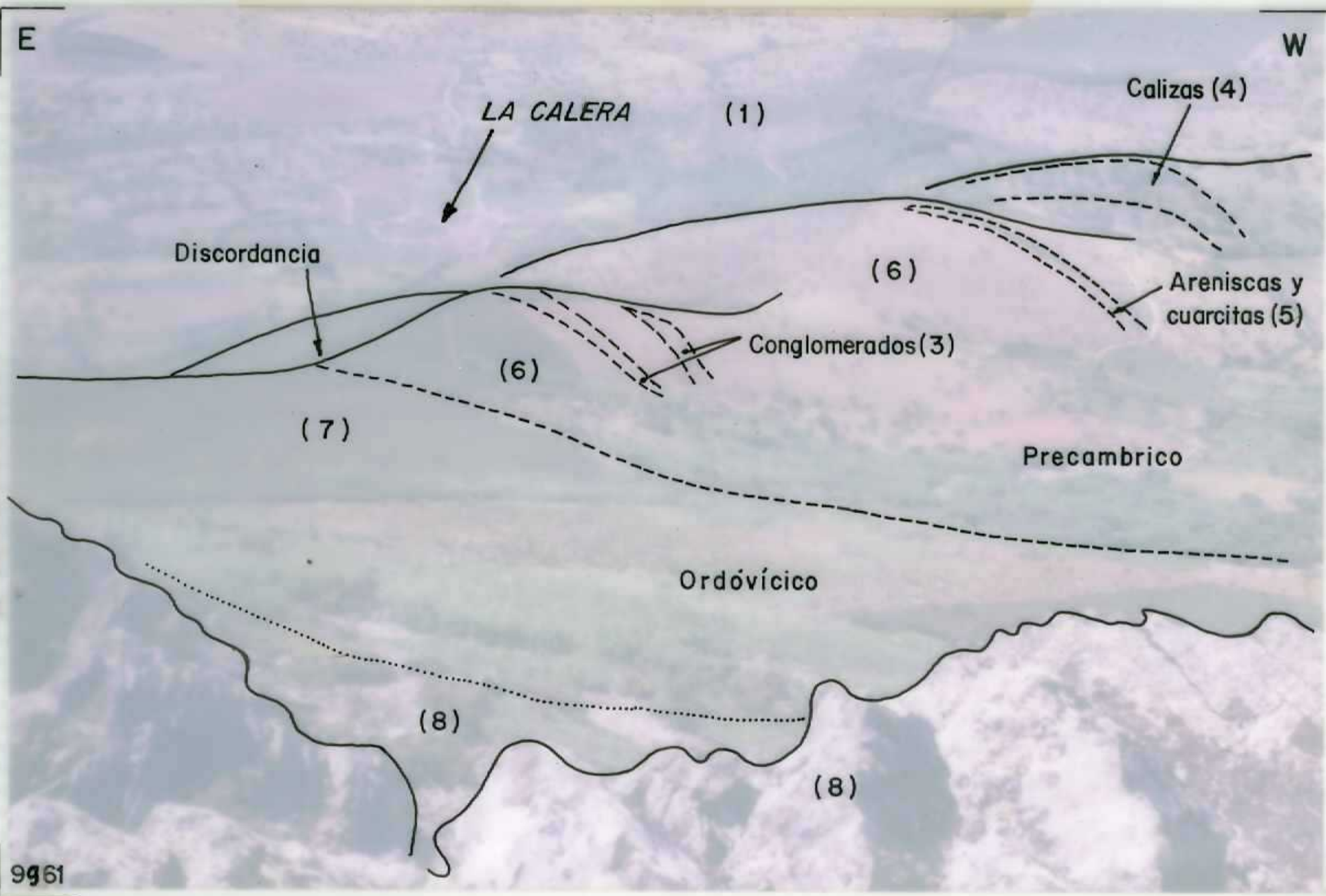
14-27-IB-FN-9959.- Calizas estromatóliticas (4).



14-27-IB-FN-9960.- Paraconglomerados, zona de la calera (3).



14-27-IB-FN-9961.- Panorámica desde el vértice de Sobacorbas hacia el SE (La Calera); en primer plano cuarcitas ordovícicas.


E
W
LA CALERA
(1)
Calizas (4)
Discordancia
(6)
Areniscas y
cuarcitas (5)
Conglomerados (3)
(6)
(7)
Precambrico
Ordóvicico
(8)
(8)



14-27-IB-FN-9962.- Laminación "linsen" en facies bandeadas (6)



14-27-IB-FN-9963.- Tramo de "areniscas carbonatadas" (niveles marron-beige) en el Anticlinal de Ibor-Guadalupe, zona de --- tránsito.

14-27-IB-FN-9964.- Pizarras y grauvacas (1) con refracción de esquistosidad.



965.- Micro-conglomerado (3) ó (5) ¿?. Anticli-
s-Navezuelas.



14-27-IB-FN-9965.- Micro-conglomerado (3) ó (5) ¿?. Anticlinal de Roturas-Navezuelas.



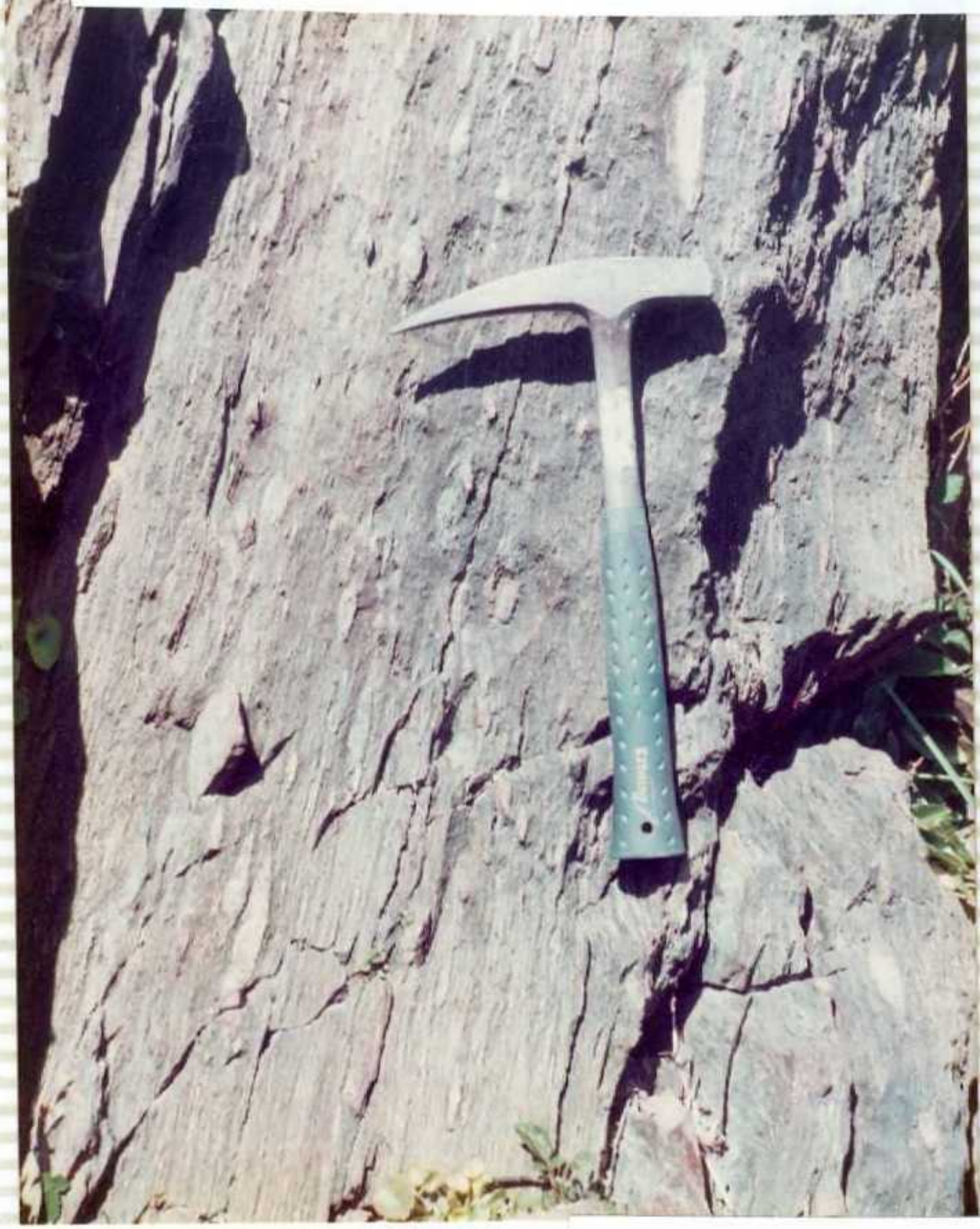






14-27-IB-FN-9966.- Conglomerado de aspecto "ollo de sapo" (3) Anticlinal de Roturas-Navezuelas.

14-27-IB-FN-9967.- Conglomerado de cantos estirados y orientados. Anticlinal de Valdelacasa. Ayo. pizarroso, al W de Carrascalejo.







14-27-IB-FN-9968.- Facies"acintadas" de calcoesquistos (4) Anticlinal de Roturas-Navezuelas.



14-27-IB-FN-9969.- Niveles de conglomerados (3) entre facies bandeadas (6) Rio Ibor.

14-27-IB-FN-9970.- Nivel de areniscas-grauvaquicas (cuarcitas) (5) intercalado entre facies bandeadas (6).



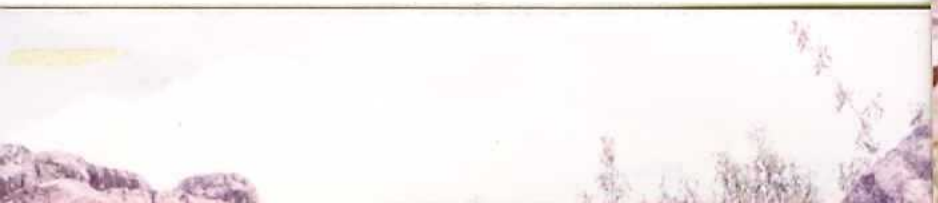


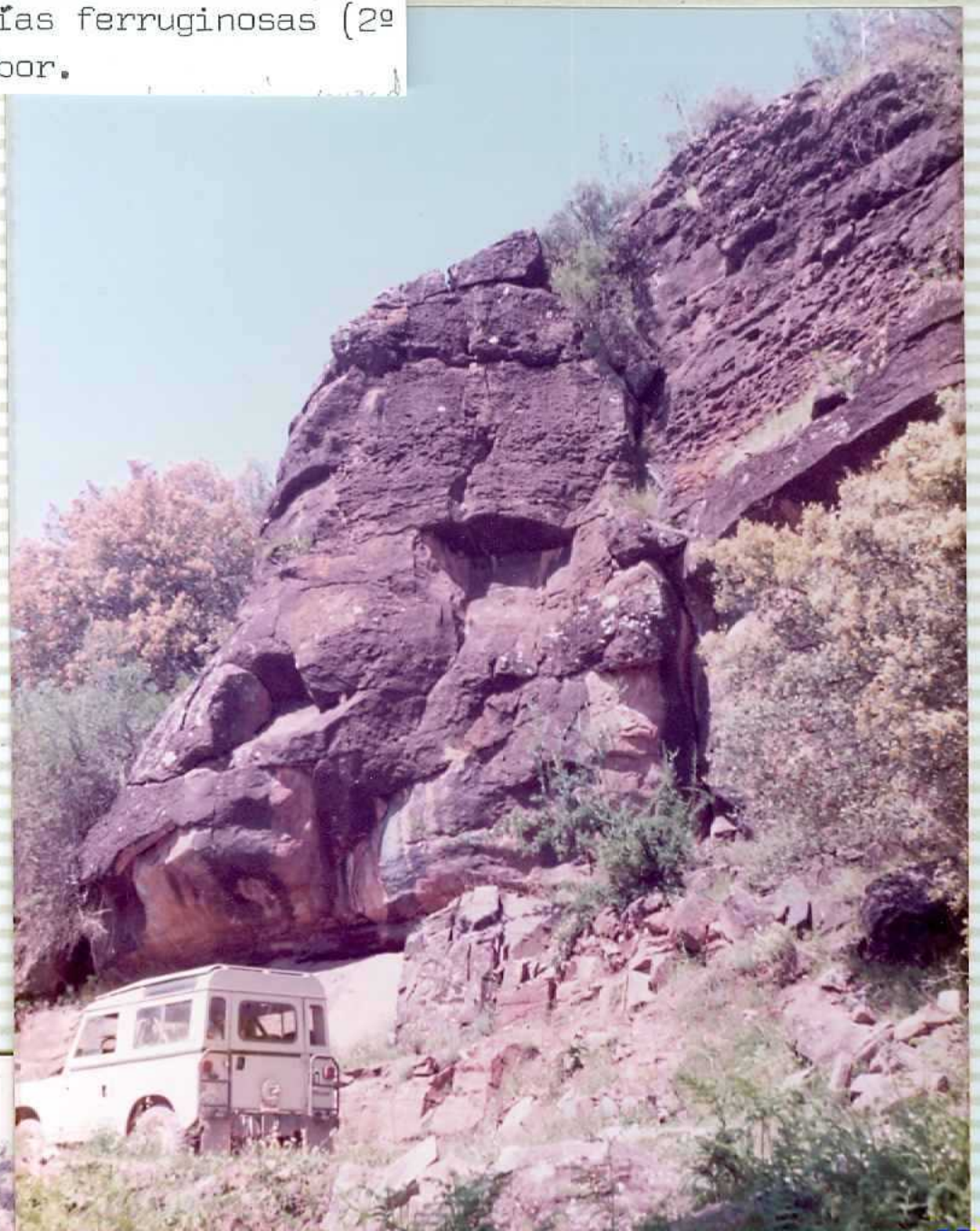




14-27-IB-FN-9971.- Areniscas microconglomeráticas canalizadas (5) Anticlinal de Roturas.Aº del Verdinal.

14-27-IB-FN-9972.- Potente nivel de dolomías ferruginosas (2º nivel calcáreo) (4), "peña del toro" rio Ibor.







14-27-IB-FN-9973 bis.- Areniscas y cuarcitas (5) ctra. de Castañar Navalvillar.



14-27-IB-FN-9973.- Areniscas y cuarcitas (5), con laminación cruzada de megarripples.

14-27-IB-FN-9974 y 9974 bis.- Calizas estromatolíticas, con niveles lutiticos intercalados (4) 2º nivel calcáreo.





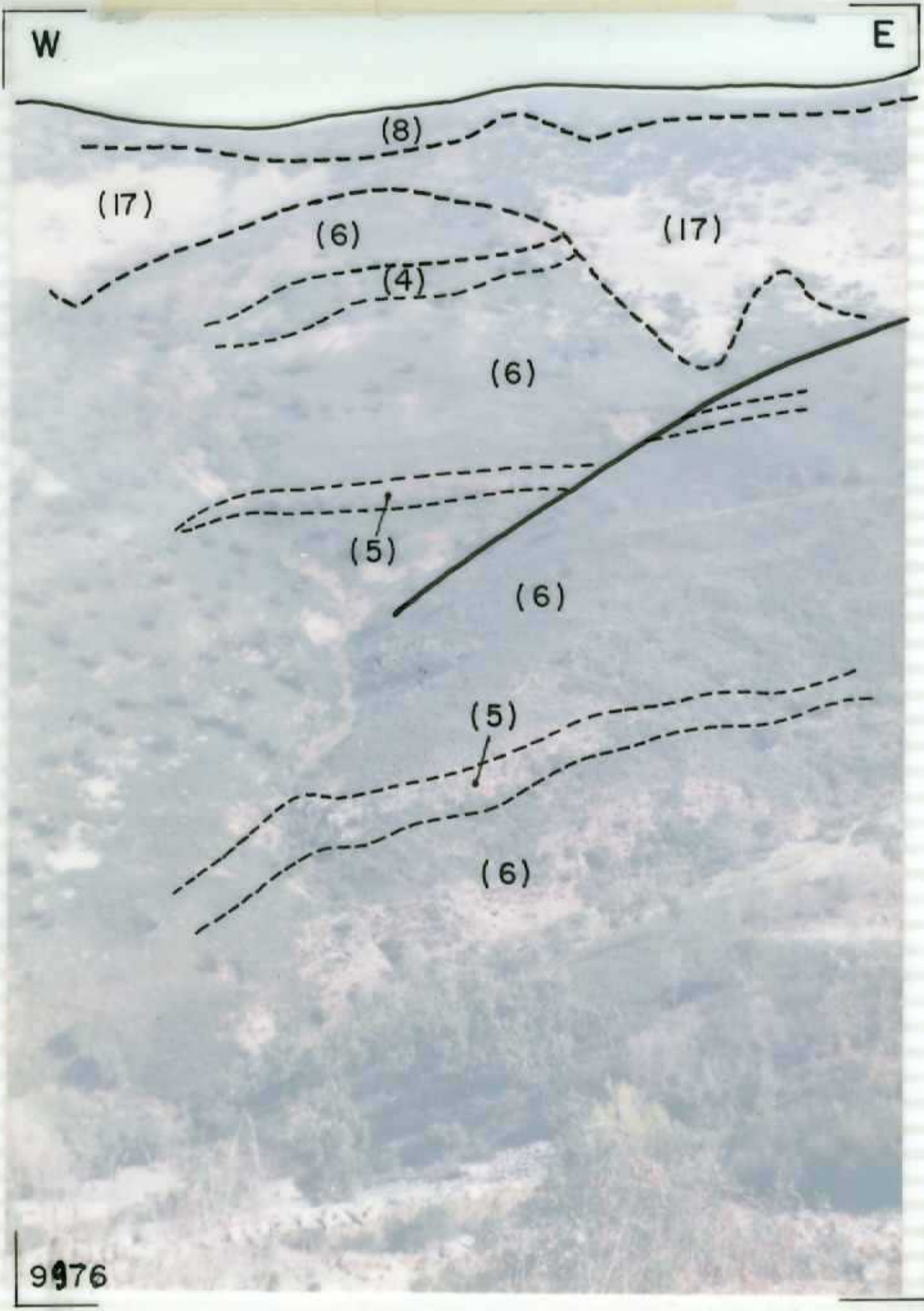
14-27-IB-FN-9974 y 9974 bis.- Calizas estromatolíticas, con niveles lutiticos intercalados (4) 2º nivel calcáreo.



14-27-IB-FN-9975.- Calizas y dolomías con niveles lutíticos intercalados (4).



14-27-IB-FN-9976.- Panorámica vertiente Sur de la Sierra de Porrinas, niveles de cuarcitas y areniscas (5) y calizas (4).



9976



14-27-IB-FN-9977.- Serie Cámbrica, areniscas y limolitas alternantes.



14-27-IB-FN-9978.- Serie Cámbrica, areniscas y limolitas.



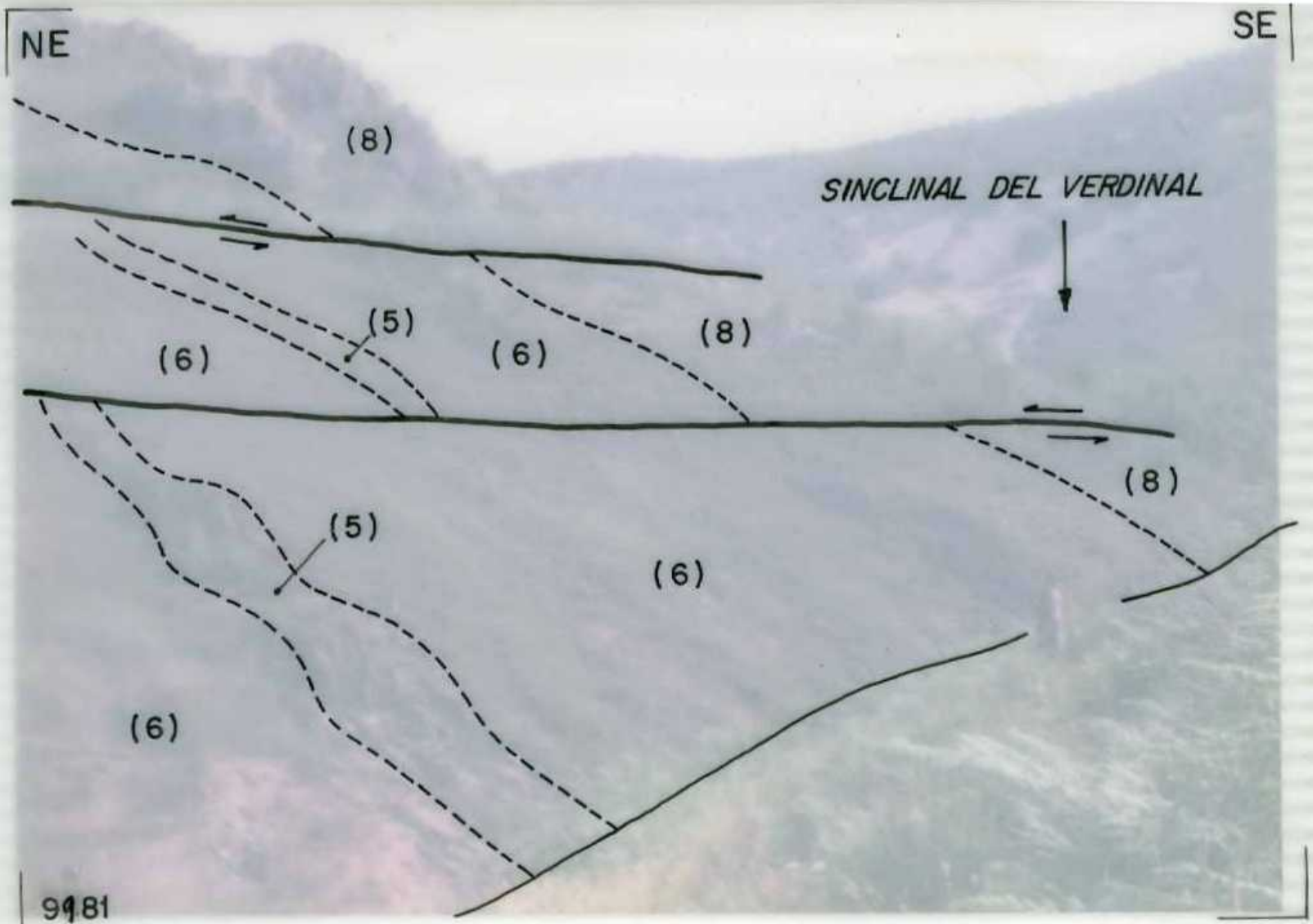
14-27-IB-FN-9979.- Serie Cámbrica, limolitas y areniscas conglomeráticas inmaduras.



14-27-IB-FN-9980.- Discordancia Precámbrico-Ordovícico, Aº. del Verdinal.



14-27-IB-FN-9981.- Corte del Aº del Verdinal; aparente "concordancia" entre areniscas y cuarcitas (5) y cuarcitas del Ordovicico (8).



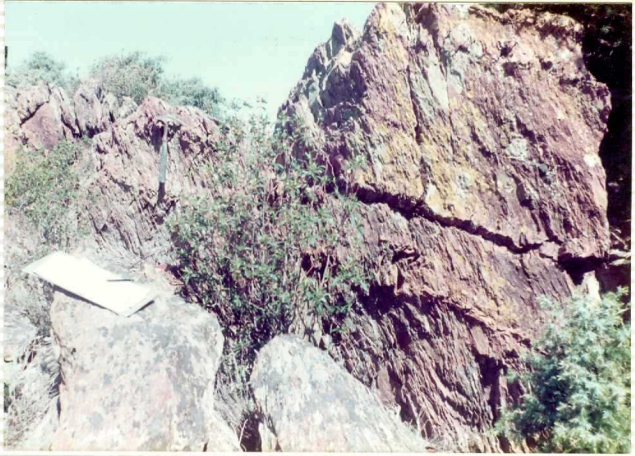
14-27-IB-FN-9981.- Corte del Aº del Verdinal; aparente "concordancia" entre areniscas y cuarcitas (5) y cuarcitas del Ordovicico (8).

14-27-IB-FN-9982.- Conglomerados Ordovícicos(7) de Carrascalejo.





14-27-IB-FN-9983.- Conglomerados Ordovícicos(7) de Carrascalejo.



14-27-IB-FN-9984.- Esquistosidad en pizarras del Ordovícico (7);serie de Carrascalejo.



14-27-IB-FN-9985.- Niveles de cuarcitas (7) Ordovícicas. Serie de Carrascalejo.



14-27-IB-FN-9986.- Cruziana rugosa D'ORBIGNY en cuarcitas (7). Serie de Carrascalejo.



14-27-IB-FN-9987.- Cruziana semiplicata (SALTER) en cuarcitas (7). Serie de Carrascalejo.

14-27-IB-FN-9988.- Areniscas y conglomerados Ordovícicos (7). La Calera.





14-27-IB-FN-9989.- Areniscas y conglomerados Ordovícicos (7). La Calera.

14-27-IB-FN-9990.- Pizarras y areniscas (7). Serie púrpura. Sierra Alta.





14-27-IB-FN-9991.- Pizarras, areniscas y cuarcitas (7) Serie púrpura, Sierra Alta.



14-27-IB-FN-9992.- Resalte de"cuarcitas armoricanas" (8) y derrubio de Canchales (17).

14-27-IB-FN-9993.- Daedalus cf. desglandi (ROUALT) cuarcitas Ordovicicas (8).





14-27-IB-FN-9994.- Pistas de cruziana goldfussi (ROVALT) y cruziana furcifera (D'ORBIGNY), pelecypodichnus.



14-27-IB-FN-9995.- Cruziana goldfussi (ROUALT) "cuarcita armoricana" (8) La Palomera.



14-27-IB-FN-9996.- Aspecto de las cuarcitas y pizarras alternantes (9).



14-27-IB-FN-9997.- Huellas tipo "Fodichnia" (planolites) en alternancias superiores (9).

14-27-IB-FN-9998.- Acumulación de restos orgánicos en el seno de un "ripple" en alternancias superiores.





14-27-IB-FN-9999.- "Cabeceo de ladera" en pizarras del Llan
deilo alteradas (10).